

# Об интерпретации результатов экспериментальной проверки эффекта Аскарьяна

А. Д. Филоненко<sup>1)</sup>

Восточноукраинский национальный университет им. В. Даля, 91034 Луганск, Украина

Поступила в редакцию 2 марта 2009 г.

Рассмотрено влияние внешних условий на результаты измерения спектра радиоизлучения, при экспериментальном моделировании каскадного ливня пучком  $\gamma$ -квантов высокой энергии в плотной среде. Расчет показывает, что характер измеренного в опыте энергетического спектра зависит от взаимного расположения приемной антенны и оси ливня.

PACS: 95.55.Vj

**Введение.** Избыток отрицательных зарядов (электронов) в каскадном ливне, возникающий вследствие аннигиляции позитронов а также вовлечения в лавину комптон- и  $\delta$ -электронов, называют эффектом Аскарьяна [1]. Он лежит в основе идеи регистрации космических частиц сверхвысокой энергии посредством детектирования радиосигнала, вызванного черенковским излучением этого избытка [2]. В настоящее время известен ряд механизмов радиоэмиссии, сопровождающей распространение каскадного ливня [3]. Например, экспериментально подтверждено, что геомагнитный механизм излучения широкого атмосферного ливня доминирует над черенковским [4]. Однако в плотной среде при отсутствии магнитного поля единственным механизмом, радиоизлучение которого может быть использовано в целях детектирования частиц сверхвысокой энергии, является черенковский. В частности, в работе [5] теоретически обоснована возможность детектирования радиосигнала от каскадного ливня в лунном реголите с помощью антенны радиотелескопа. На такой метод регистрации частиц сверхвысокой энергии (так называемый радиоастрономический метод) возлагаются сейчас большие надежды в связи с актуальностью вопроса об установлении пределов на потоки нейтрино с энергией выше  $10^{20}$  эВ.

За последние несколько лет были осуществлены несколько экспериментальных проектов [6–9], использовавших комплекс радиоастрономических антенн. Анализ полученных результатов показал, что в этих опытах не было зарегистрировано ни одного события, имеющего все характерные признаки ожидаемого сигнала. Этот факт стимулировал более тщательное исследование характеристик излучения кас-

кадного ливня в плотных средах. В частности, важным является вопрос о выборе частотного диапазона для наблюдения радиосигнала. С этой целью был поставлен модельный эксперимент в Стэнфордском ускорительном центре [10]. Пучок, содержащий около  $10^{10}$  электронов с энергией 28.5 ГэВ на каждую частицу, падал на алюминиевый радиатор, порождая высокозергетические  $\gamma$ -кванты. Энергия ливня, вызванная этими  $\gamma$ -квантами в сухом песке с общей массой 3.5 т, составляла  $10^{18}$ – $10^{19}$  эВ. В непосредственной близости от оси ливня размещались несколько рупорных антенн так, чтобы каждая из них измеряла напряженность поля от соответствующего участка ливня. В работе приводятся результаты измерения некоторых характеристик радиоизлучения, которые, по мнению авторов [10], подтверждают теоретические выводы. В частности, на рис. 4б этой работы приведена кривая, полученная с помощью полуэмпирической параметризации [11, 12], основанной на аналитических методах, которые детально рассматривают распределение заряженных частиц ливня. Рост интенсивности с частотой на этой кривой продолжается вплоть до 10 ГГц. Авторы отмечают полное согласие теоретических результатов [11, 12] с экспериментом [10].

В соответствии с такими выводами последующие за этим измерения на радиоастрономических комплексах [6–9] проводились на очень высоких частотах ( $2 \div 6$  ГГц). Хотя отсутствие ожидаемых радиоимпульсов тоже является результатом, однако отрицательный результат эксперимента настораживал и стимулировал дальнейшие исследования характеристик излучения ливня в плотных средах. Вопрос о выборе подходящей частоты для наблюдения радиосигнала от каскадного ливня в лунном реголите был рассмотрен в работе [13], в которой учтено неоднород-

<sup>1)</sup>e-mail: filonenko\_ad@dsip.net

ное распределение заряженных частиц по каскадному диску. Результаты теоретического расчета принципиально отличались от полученных ранее в работах [10–12]. Было найдено, что максимум излучения лежит в районе 0.5–0.6 ГГц, а на частотах 1.5–2 ГГц интенсивность излучения падает не менее чем на 3–4 порядка. Однако для надежных выводов необходимы дополнительные и не менее убедительные аргументы.

Настоящая работа преследует именно такую цель. Ниже показано, что результаты эксперимента [10] не соответствуют реальным условиям, то есть тем, которые имеют место при радиоастрономических измерениях [6–9]. Оказалось, что в модельных измерениях спектра принципиальную роль играет угол наблюдения и расстояние от измерительной антенны до оси каскадного ливня, то есть результат измерения зависит от этих параметров и не отражает реального спектра источника. Поэтому выводы работы [13] о необходимости перехода к относительно низким частотам для наблюдения радиоимпульса из лунного реголита получают в связи с этими исследованиями дополнительные аргументы.

**Теоретические оценки.** Рассмотрим модель ливня в виде точечного заряда, движущегося в среде со сверхсветовой скоростью  $\mathbf{v}_0$ . Пусть его заряд задан функцией времени, повторяющей каскадную функцию  $N(t) = \eta N_0 q_0 \exp(t^2/\tau^2)$ , где  $\tau$  – характерное время развития ливня,  $N_0$  – число частиц в максимуме ливня,  $q_0 = 1.6 \cdot 10^{-19}$  С – заряд электрона и  $\eta$  – доля избыточного заряда. Такой вид каскадной функции достаточно точно отображает приближение Каматы–Нишимуры–Грейзена (см., например, оценки в [14]). Тогда плотность тока запишем в виде

$$j(\mathbf{r}, t) = \eta q_0 \mathbf{v}_0 N_0 \exp(t^2/\tau^2) \delta(z - vt) \delta(x) \delta(y), \quad (1)$$

а фурье-составляющая плотности тока в соответствии с выражением (1) будет иметь вид

$$\begin{aligned} j(\mathbf{r}', \omega) &= N_0 \eta q_0 \mathbf{v}_0 \int_{-\infty}^{\infty} \delta(z' - vt) \delta(x') \delta(y') e^{-t^2/\tau^2} e^{i\omega t} dt = \\ &= N_0 q_0 \eta e^{-\frac{z'^2}{c^2 \tau^2} + i\frac{\omega}{v} z'} \delta(x') \delta(y'). \end{aligned} \quad (2)$$

Векторный потенциал, согласно [15], выразим в виде

$$\begin{aligned} \mathbf{A}(\mathbf{r}, \omega) &= \frac{\mu_0 \eta q_0 \mathbf{n}_0}{4\pi} \int \frac{e^{-\frac{z'^2}{c^2 \tau^2} + i\frac{\omega}{v} z'}}{R} e^{\frac{i\omega n R}{c}} dV' = \\ &= \frac{\mu_0}{4\pi} q_0 \mathbf{n}_0 \eta \int_{-\infty}^{\infty} \frac{e^{-\frac{z'^2}{c^2 \tau^2} + i\frac{\omega}{v} z'}}{\sqrt{x^2 + y^2 + (z - z')^2}} \times \end{aligned}$$

$$\times e^{i\omega n \sqrt{x^2 + y^2 + (z - z')^2}/c} dz' \quad (3)$$

где  $R = \sqrt{(x - x')^2 + (y - y')^2 + (z - z')^2}$ , причем величинами  $x', y', z'$  обозначены координаты элемента пространства  $dV'$ , а  $x, y, z$  – координаты точки наблюдения  $P$  (см. рис.1). Индукцию поля найдем как

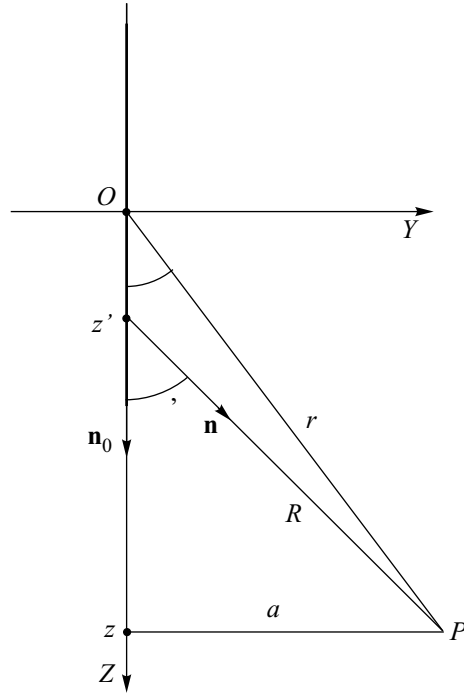


Рис.1. Каскадный ливень достигает максимума в точке  $O$  на оси  $Z$ ;  $P$  – точка расположения наблюдателя

$\mathbf{B} = \text{rot } \mathbf{A}(\mathbf{r}, \omega)$ , не пренебрегая слагаемыми порядка  $1/r^2$ , и учтем, что спектральная интенсивность  $I(\omega)$  пропорциональна  $|\mathbf{B}(\mathbf{r}, k, \theta)|^2$ :

$$I(r, k, \theta) \sim |\mathbf{B}(r, k, \theta)|^2 \sim \left| \int_{-\infty}^{\infty} e^{-\frac{z'^2}{c^2 \tau^2} + i\frac{\omega}{v} z'} \frac{e^{ikn\rho(r, z')}}{\rho(r, z')^2} \left( ikn - \frac{1}{\rho(r, z')} \right) \sin \theta' dz' \right|^2, \quad (4)$$

где  $r = OP = \sqrt{x^2 + y^2 + z^2}$  (см. рис.1) – расстояние от наблюдателя до начала выбранной системы отсчета,  $k = \omega/c$ ,  $\theta$  – угол между осью  $Z$  и направлением  $r$ ,  $\rho(r, z') = \sqrt{r^2 - 2z'r \cos \theta + z'^2}$ ,  $\sin \theta' = \sqrt{1 - (r \cos \theta - z')^2 / \rho^2(r, z')}$ ,  $a = ct$  – характерная длина каскадного ливня. Если выбрать  $a = 1$  м, то продольная длина ливня приблизительно соответствует условиям эксперимента [10]. Для значений  $r \gg z'$  выражение (4) с точностью до несущественных множителей переходит в выражение

$$I(k, \theta) \sim (ka \sin \theta)^2 e^{-\frac{k^2(1 - \beta n \cos \theta)^2 a^2}{2}}. \quad (5)$$

Очевидно, для произвольных значений  $\theta$ , но таких, что  $\theta \neq \arccos(1/\beta n)$ , интенсивность  $I(k=0) = I(k=\infty) = 0$ . Из (5) легко определить, что в точке  $k_m = \sqrt{2}/a|1 - \beta n \cos \theta|$  энергетический спектр имеет максимум, который при выборе угла наблюдения, близкого к  $\theta = \arccos(1/\beta n)$ , может простираться как угодно далеко. В целом, такое поведение совпадает с предсказаниями [11, 12] и экспериментом [10]. Однако результаты этих работ в реальном случае могут быть применимы лишь с большими оговорками. Дело в том, что при повышении частоты угловая ширина диаграммы направленности излучения уменьшается. Из (5) следует, что для  $k \gg 1$  ( $k = 1$  соответствует  $\sim 50$  МГц) полуширина диаграммы выражается как  $\theta_{1/2} = 2\sqrt{\ln 4}/ka\beta n \sin \theta_{Ch}$ , где  $\sin \theta_{Ch} \approx 0.8$ . Например, для  $k = 50$  и  $k = 500$  соответствующие углы равны  $3.5 \cdot 10^{-2}$  и  $3.5 \cdot 10^{-3}$ . Поэтому вероятность наблюдения излучения на поверхности Земли от каскадного ливня в лунном реголите при углах, очень близких к  $\arccos(1/\beta n)$ , незначительна вследствие случайного характера направления излучения. Например, даже в том случае, когда угловая ширина диаграммы направленности приемной антенны очень велика (например, полуволновый диполь), антенна может оказаться в стороне от поля излучения. На рис.2 показаны спектры излучения (в различных масштабах)

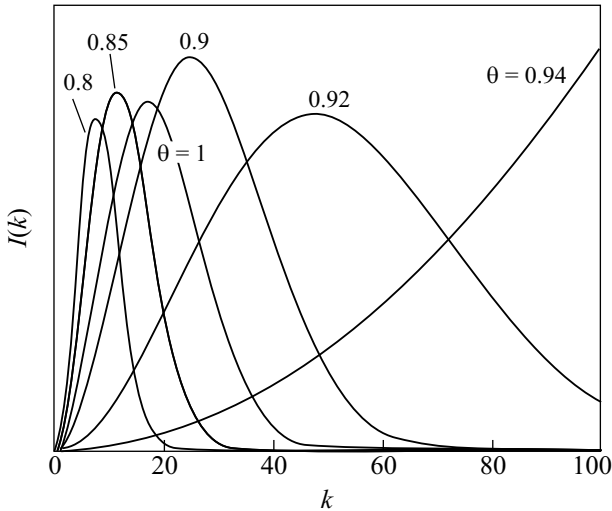


Рис.2. Спектральные интенсивности (в произвольных масштабах) для разных углов наблюдения  $\theta$ , указанных около кривых

штабах) для некоторых выбранных углов  $\theta$ :  $\theta_1 = 0.8$ ;  $\theta_2 = 0.85$ ;  $\theta_3 = 0.9$ ;  $\theta_4 = 0.92$ ;  $\theta_5 = 0.94$ ;  $\theta_6 = 1$ .

В модельном эксперименте [10] рупорные антенны приемников устанавливались на расстоянии  $1 \div 2$  м от оси ливня. На рис.3 показано как изменяются спек-

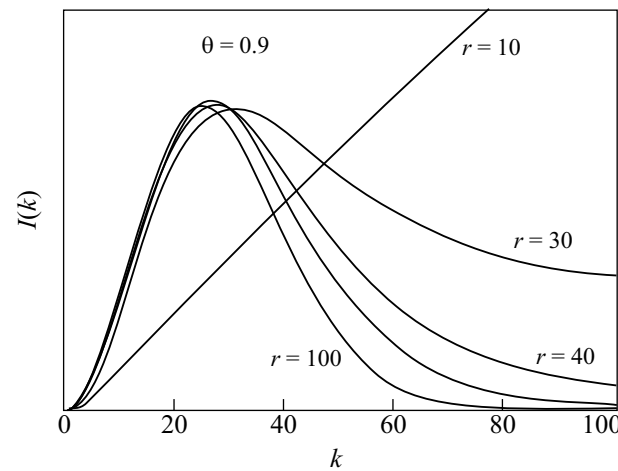


Рис.3. Спектральные интенсивности (в произвольных масштабах) на различных расстояниях  $r$  от источника при угле наблюдения  $\theta = 0.9$

тральные интенсивности (4) при уменьшении расстояния до оси. Для вычислений взяты значения  $\theta = 0.9$ ,  $a = 1$ ,  $n = 1.7$  и интегрирование по  $\xi$  проводилось в пределах  $-10 < \xi < 10$ . Отчетливо видна тенденция значительного расширения спектра в сторону высоких частот при приближении к источнику. В частности, интенсивность для  $r = 10$  м растет вплоть до  $k = 10^3$ . Если это расстояние будет составлять  $r \sim 1 \div 2$  м, то даже существенное отклонение направления рупорной антенны [10] от угла  $\theta = \arccos(1/\beta n)$  не приведет к сужению спектра, так как ее диаграмма имеет угловую ширину не менее  $20^\circ$ . Этого вполне достаточно, чтобы при некоторой ошибке в ориентации антенны угол излучения  $\theta = \arccos(1/\beta n)$  оказался в пределах ее главного лепестка.

В реальных условиях, когда антенна находится на Земле, а источник на Луне, вероятность события, при котором направление  $\theta = \arccos(1/\beta n)$  окажется в пределах диаграммы радиотелескопа, очень мала. Таким образом, приведенные выше оценки показали, что факт нахождения измерительной антенны в непосредственной близости от оси ливня может быть наиболее вероятной причиной, вследствие которой спектр, измеряемый на установке [10], растет вплоть до 10 ГГц. Это фактически означает, что выбор очень высоких частот для наблюдения радиоимпульса, вызванного каскадным ливнем в лунном реголите, не является целесообразным.

1. Г. А. Аскарьян, ЖЭТФ **41**, 616 (1961).
2. Г. А. Аскарьян, ЖЭТФ **48**, 988 (1965).
3. А. Д. Филоненко, УФН **172**, 439 (2002).

4. В. Б. Атрашкевич, О. В. Веденеев, Х. Р. Аллан и др.,  
*ЯФ* **28**, 712 (1978).
5. Р. Д. Дагкесаманский, И. М. Железных, Письма в  
*ЖЭТФ* **50**, 233 (1989).
6. Т. Н. Hankins, R. D. Ekers, and J. D. O'Sullivan, *Mon. Not. R. Astron. Soc.* **283**, 1027 (1996).
7. P. W. Gorham, K. M. Liewer, and C. J. Naudet,  
arXiv:astro-ph/9906504.
8. P. W. Gorham, C. L. Hebert, K. M. Liewer et al.,  
arXiv:astro-ph/0310232.
9. A. R. Beresnyak, R. D. Dagkesamanskii, I. M. Zhelez-  
nykh et al., *Astronomy Reports* **49**, 127 (2005).
10. D. Saltzberg, P. Gorham, D. Walz et al., arXiv:hep-ex/0011001.
11. E. Zas, F. Halzen, and T. Stanev, *Phys. Rev. D* **45**, 362 (1992).
12. P. W. Gorham, K. M. Liewer, and C. J. Naudet, astro-ph/9906504.
13. А. Д. Филоненко, Письма в *ЖЭТФ* **86**, 339 (2007).
14. А. Д. Филоненко, *ЖТФ* **78**, 120 (2008).
15. Л. Д. Ландау, Е. М. Лифшиц, *Теория поля*, М.: Наука, 1967.